

بازسازی برف مرزهای پلیوستوسن در حوضه‌ی جاجرود

مجتبی یمانی* - دانشیار دانشکده جغرافیا، دانشگاه تهران
علی اکبر شمسی پور - استادیار دانشکده جغرافیا، دانشگاه تهران
مریم جعفری اقلم - دانشجوی کارشناسی ارشد ژئومورفولوژی، دانشگاه تهران

تأیید نهایی: ۱۳۹۰/۵/۱۷ پذیرش مقاله: ۱۳۸۹/۱۱/۱۹

چکیده

پژوهش حاضر با ماهیت بنیادی، تلاش دارد تا رابطه‌ی میان جهت ناهمواری‌ها و گسترش سیرک‌های یخچالی را بررسی و سرآجgam برف‌مرزهای آخرین دوره‌ی یخچالی کواترنری را در حوضه‌ی آبریز جاجرود تعیین کند. سیرک‌ها، جریان‌های یخرفتی و سنگ‌های سرگردان مهم‌ترین لندفرم‌های یخچالی و شواهد تغییرات اقلیمی موجود در حوضه‌ی مورد مطالعه به شمار می‌روند. نقشه‌های توپوگرافی، زمین‌شناسی، تصاویر ماهواره‌ای ETM+ و داده‌های اقلیمی دما و بارش ماهانه، ابزارها و داده‌های مورد استفاده در این پژوهش هستند. همچنین از نرم‌افزار Arc GIS 9.3 و سایر نرم‌افزارها برای تجزیه و تحلیل داده‌ها استفاده شده است. در این راستا، با استفاده از تصاویر ماهواره‌ای و بازدیدهای میدانی، موقعیت سیرک‌های منطقه‌ی شناسایی شده و برای بازسازی خط تعادل برف و یخ گذشته (ELA)، از میان روش‌های پنج گانه پورتر، روش مطالعه‌ی ارتفاع کف سیرک و از روش رایت نیز برای برآورد حد برف‌مرز آخرین دوره‌ی یخچالی استفاده شده است. برای بررسی وجود رابطه میان گسترش و پراکندگی سیرک‌های منطقه با جهت ناهمواری‌ها، از آزمون توان دوم کی پیرسون (مجدور X) استفاده شده است. نتایج نشان می‌دهد که $38/8$ درصد از سیرک‌های منطقه رو به قطب و $24/7$ درصد سیرک‌ها در دامنه‌های رو به استوا شکل گرفته‌اند؛ همچنین خط برف‌مرز وورم با استفاده از روش پورتر، ارتفاع 3072 متر و با استفاده از روش رایت، ارتفاع 3095 متری را نشان می‌دهد. برف‌مرز کنونی با استفاده از داده‌های دما و بارش، ارتفاع 3720 متری را نشان می‌دهد، در حالی که بیشتر پژوهشگران قبلی این مرز را بالای 4000 متر تعیین کردند.

کلیدواژه‌ها: یخچال، کوهستانی، برف‌مرز، حوضه‌ی جاجرود، کواترنری، تغییرات اقلیمی.

مقدمه

از آن‌جاکه تعیین محدوده‌های اقلیمی در نواحی کوهستانی به صورت سطوح ارتفاعی مورد توجه است، بنابراین، توجه پژوهشگران معطوف به دستیابی ارقام ارتفاعی است که گویای مرز مشخص و تسلط عوامل متفاوت فرسایشی است. به عبارت دیگر، تلاش در زمینه‌ی تعیین حدّی است که فراتر از آن، آثار عوامل فرسایش به صورتی متفاوت در محیط ظاهر شده باشند. به همین دلیل، برای مطالعه‌ی تحول پیکرشناسی نواحی کوهستانی، پژوهشگران سعی می‌کنند مرزبرف‌ها را در دوره‌های یخچالی و بین‌یخچالی تعیین کنند. بدلیل پیشروی یخچال‌ها در اروپای شمالی، ویژگی‌های ارتفاعات یخچالی به مراتب زودتر از ویژگی‌های ارتفاعات مناطق خشک شناسایی شد. جیمز آبر (Aber, 2003) درباره‌ی پیدایش نظریه‌ی یخچالی می‌گوید: "نظریه‌ی یخچالی در اوایل دهه‌ی ۱۸۳۰ در مطالعه‌ی کوهستان‌های اروپای غربی گسترش یافت. اسمارک و چارپیتر (Esmark & Charpentier, 1824) برای اوّلین بار در زمینه‌ی اکتشافات اوّلیه و این که یخچال‌ها در گذشته سطح وسیعی از خشکی‌ها را پوشانده بودند، کار کردند.

لویس و آگاسیز (Louis Agassiz, 1840) یخچال‌شناسی را با تشریح و توصیف یخچال‌های فعلی و آثار فرسایشی آن بر روی صخره‌های بستری و قطعه‌های دیگری که همراه با آنها حمل می‌شد، آغاز کرد و با یادداشت‌برداری از ویژگی‌های شکلی رسوب‌های فرم‌شناسی یخچالی، اصول فرم‌شناسی یخچال‌شناسی دیرینه را بنیان نهاد.

پنگ و بروخنر (Peng & Brohkner, 1901-1908) با شروع قرن بیستم، تناوب دوره‌های یخچالی و بین‌یخچالی را براساس اصول اخترشناسی بیان کردند و حداکثر میل محور زمین و حداکثر خروج زمین از مدار خود را به‌علت بروز یخچال‌ها ارائه دادند که تحت عنوان سیکل بروخنر منتشر شد. این موضوع در دهه‌های بعد توسط میلانکویچ بررسی شد. (Ford, 1950). آنها براساس آثار یخچالی و فرم‌های ارضی رودخانه‌ای در اروپا، چهار دوره‌ی یخچالی را تشخیص دادند که به‌ترتیب قدمت عبارت‌اند از: گونز¹، میندل²، ریس³، وورم⁴. فاصله‌ی زمانی بین این دوره‌های یخچالی را دوره‌ی بین‌یخچالی و زمان پس از آخرین دوره‌ی یخچالی را دوره‌ی بعد از یخچالی نامیدند. ابریل (Ebrell, 1930) به دو دوره‌ی سرد قدیمی‌تر اشاره کرد و نام آنها را دونائو و بیبر گذاشت.

بررسی آثار مورفولوژیکی یخیندان‌های کواترنر ایران موضوع مورد علاقه‌ی بسیاری از پژوهشگران بوده است که می‌توان شروع آن را به ژاک دومرگان (De Morgan, 1890) دانست. وی در توصیف لرستان، از سیرک یخچالی قدیمی اشترانکوه در ارتفاع ۳۸۰۰ متر و سیرک قلیان‌کوه در ارتفاع ۲۴۴۰ متر نام برده است.

مطالعه‌ی جدّی در مورد آثار مستقیم یخیندان کواترنر در کوههای ایران با کارهای بوبک (Bobek, 1933) در البرز، قسمت‌های مرتفع کردستان و کارهای دزیو (Desio, 1934) در زردکوه شروع شد (جداری عیوضی، ۱۳۸۳، ۷۳). بوبک با بررسی یخرفت‌های رشته‌کوه البرز و زاگرس، آن را شاهدی بر یخیندان قبل از وورم در این ارتفاعات معرفی کرد و افت

1. Gunz
2. Mindel
3. Riss
4. Wurm

آهنج درجه حرارت را ۴-۳ درجه کمتر از زمان حاضر بیان نموده است. مطالعات وی سبب شد در سال ۱۹۵۵ میلادی اولین اظهار نظر کلی درباره‌ی اقلیم ایران در کواترنر را منتشر کند. او معتقد بود در طول دوران یخچالی، اقلیمی سرد و خشکتر از امروز بر ایران حاکم بوده است.

رایت (Wright, 1983) روی ارتفاعات زاگرس در امتداد مرز ایران و عراق کار کرد و خط‌دادمی برف در دوره وورم را در ارتفاع ۱۸۰۰ متری ریابی نمود، براساس این نظریه، در ایران در زمان حاکمیت یخچال‌ها، خط‌برف خیلی پایین‌تر از میزانی است که بوبک و موافقان نظر وی ابراز کردند؛ همچنین رایت در جنوب‌غربی ازنا در اشتراکوه، سیرک یخچالی جبهه‌ی شمالی را در ۳۰۰۰ متر و یخرفت‌ها را در دره‌های کوچک تا ارتفاع ۲۶۰۰ متری مشاهده کرد. وی برای این نقطه، گرادیان دمای ۰/۶۸ درجه‌ی سانتی‌گراد را به‌ازای هر ۱۰۰ متر ارتفاع پیشنهاد داد. بر این اساس اگر کاهش ارتفاع مرزبرف دائمی به‌علت کاهش دما بوده، می‌توان نتیجه گرفت که متوسط دمای سالانه این منطقه در وورم نسبت به زمان حال ۱۲ درجه‌ی سانتی‌گراد کمتر بوده است. با توجه به مرزبرف‌های دائمی و پایین‌آمدن آنها در دوره‌های سرد پلئوستوسن که به نظر بوبک و شوايتزر (۱۹۸۵) حدود ۸۰۰ تا ۱۰۰۰ متر پایین‌تر از حد کنونی بوده است، پدیده‌های یخچالی را می‌توان تا سطوح ارتفاعی مذکور جست‌وجو و مشاهده کرد (زمردیان، ۱۳۸۱، ۴۱؛ همچنین شوايتزر ارتفاع برف دائم را در حال حاضر در البرز در حدود ۴۲۰۰ متر تعیین می‌کند (عیوضی، ۱۳۸۳، ۷۵).

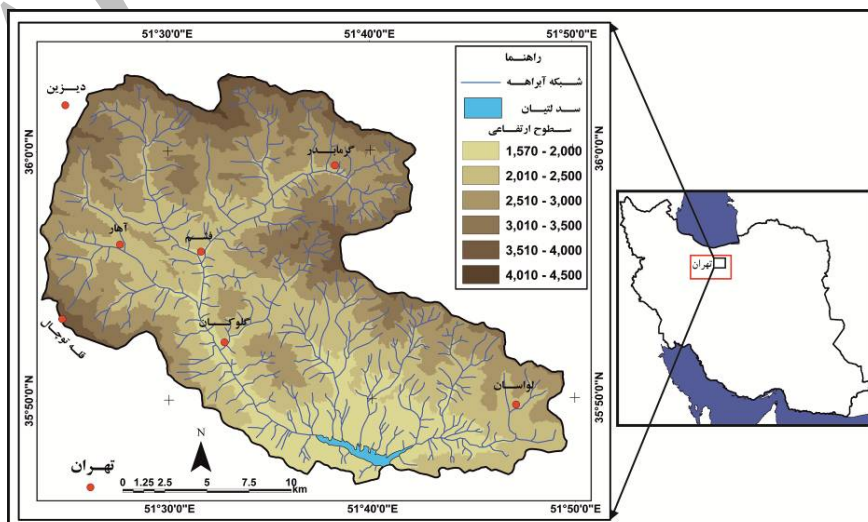
هاگه‌دورن (Hagedorn, 1974) و کوهله (Kuhle, 1976) مطالعاتی در مورد ایران مرکزی داشته‌اند (جداری عیوضی، ۱۳۸۳، ۷۷). همچنین فیشر (Fisher, 1968) مطالعاتی را در کوه‌های البرز و قله علم‌کوه انجام داد. وی سیرک‌های یخچالی، طول و عرض و ارتفاع این سیرک‌ها و همچنین مسیر حرکت زبانه‌های یخی آنها را مورد مطالعه قرار داد. در ناحیه‌ی تهران آثار و شواهد زیادی از یخ‌بندان وورم وجود دارد. به نوشته‌ی پدراما یخچال دره‌ای بزرگ کرج ۹۰ کیلومتر طول داشته و تا محل فعلی شهر کرج گسترش یافته بود. در وورم قدیمی، یخچال دره‌ای جاجرود نیز تا ارتفاع ۱۴۰۰ متر پایین‌آمده است (جداری عیوضی، ۱۳۸۳، ۷۷). پدراما که به‌دبیل ریابی و شناسایی آثار یخچالی بود، نسبت به تعیین خط‌برف دائمی برای نقاط مختلف ایران اقدام کرده است. وی سه اشکوب یخچالی چین‌نخورده توچال، شمال تهران و آبلی را معرفی کرده است. حاصل مطالعات او نقشه‌ی خط‌برف دائم وورم است که در کتاب ژئومورفولوژی ایران به‌همت جداری عیوضی در سال ۱۳۶۷ هش به‌چاپ رسیده است. بیشتر محققان برای مدل‌ساختن تغییرات اقلیمی کواترنری در ایران از شواهد یخچالی و خط‌برف‌مرز، شواهد بیولوژیکی و آثار دریاچه‌ها و کویرها استفاده کردند. با توجه به تصاویر ماهواره‌ای که ویلیامز و فریگو (Williams & Ferrigo, 1998) از وضعیت یخچال‌های طبیعی مناطق گوناگون دنیا تهیه کردند، ایران ۲۰ کیلومتر مربع یخچال طبیعی دارد که همه از نوع یخچال‌های کوهستانی هستند. یمانی (۱۳۸۱) در پژوهشی ضمن تفسیر و تحلیل اشکال مورفولوژی یخچالی در ارتفاعات علم‌کوه، حدود گسترش زبانه‌های یخچالی را در حال حاضر و در آخرین دوره‌ی یخچالی تعیین کرد. وی در مطالعه‌ای دیگر با عنوان "ژئومورفولوژی یخچال‌های زردکوه" (۱۳۸۶)، به بررسی اشکال ژئومورفیک یخچال‌ها و حدود گسترش آنها در زردکوه پرداخته است. وی بیان کرد در دامنه‌های شمال‌غربی این رشته‌کوه و پیرامون قله‌های اصلی آن که بالای ۴۰۰۰ متر ارتفاع دارند، بیش از ۱۵ سیرک و زبانه‌ی یخچالی وجود دارد. به اعتقاد وی، حداکثر گسترش زبانه‌های یخچالی تا ارتفاع

۲۵۰۰ متر و محدود به بستر رودخانه گوهرنگ است و مرز تشکیل سیرک‌ها حداقل تا ۳۴۰۰ متر است. رامشت و نعمت‌اللهی (۱۳۸۴) در مقاله‌ای تحت عنوان آثار یخساری در ایران، نسبت به ردیابی آثار یخساری محتمل در زاگرس اقدام کردند. رامشت و کاظمی (۱۳۸۶) با اتکا به شواهد و آثار ژئومورفیک باقی‌مانده از یخچال‌های کواترنری در منطقه‌ی اقلید فارس به بازسازی شرایط محیطی منطقه در سردرین فاز یخچالی کواترنر پرداختند. المدرسی و رامشت (۱۳۸۷) وجود آثار یخچالی در دره‌های برآفتاب حوضه‌ی سخوید رشته‌کوه‌های شیرکوه همراه با یک معبر بزرگ یخچالی را اثبات کردند. زمانی (۱۳۸۸) با مطالعه‌ی حوضه‌های جاجرود و کرج در دامنه‌ی جنوبی و حوضه‌های نور و هراز در دامنه‌ی شمالی البرز مرکزی، ارتفاع برف‌مرز گذشته با استفاده از روش رایت را ۲۷۲۰ متر و با روش ارتفاع کف سیرک، ارتفاع ۲۷۴۹ متر را پیشنهاد می‌دهد و البته برای حوضه‌ی آبریز جاجرود نیز ارتفاع برف‌مرز را ۲۷۸۰ متر و میانگین ارتفاع سیرک‌های یخچالی را نیز ۲۹۱۶ متر می‌داند.

این پژوهش، پژوهشی بنیادی است که هدف از آن شناسایی سیرک‌های یخچالی و بررسی رابطه میان جهات ناهمواری‌ها و گسترش سیرک‌ها و تعیین حد برف‌مرز در آخرین دوره‌ی یخچالی وورم و حال حاضر در حوضه‌ی جاجرود است.

موقعیت حوضه‌ی مورد مطالعه

البرز از نظر چینه‌شناسی و تکتونیک اختصاصات یکنواخت نداشته و به واحدهای مختلف کپه‌داغ و البرز شرقی، البرز مرکزی و البرز غربی و آذربایجان تقسیم می‌شود. حوضه‌ی آبریز جاجرود در یال جنوبی البرز مرکزی قرار گرفته است. مساحت آن ۱۸۹۰ کیلومترمربع است که از این مساحت حدود ۷۱۰ کیلومترمربع آن در بالادست سد لیان و ۱۱۸۰ کیلومتر آن در پایین دست سد لیان قرار گرفته است. طول شاخه‌ی اصلی جاجرود حدود ۴۲ کیلومتر است (شکل ۱). از نظر زمین‌شناسی توف سبز بیشترین مساحت حوضه را به‌خود اختصاص داده و به لحاظ زمین‌ساخت تحت تأثیر راندگی مشا - فشم قرار گرفته است که دارای راستای شرق - جنوب‌شرق، غرب - شمال‌غرب است.



شکل ۱. موقعیت حوضه‌ی جاجرود در دامنه‌های جنوبی البرز

داده‌ها و روش‌ها

هدف از این پژوهش، بررسی شناخت رابطه میان جهات ناهمواری‌ها و گسترش سیرک‌ها و از طرفی، تعیین ارتفاع برف‌مرز در آخرين دوره‌ی يخچالی وورم و حال حاضر حوضه‌ی مورد مطالعه است. به اين منظور، از روش‌های توصيفي مطالعه‌ی کتابخانه‌ای برای بررسی مبانی نظری و پيشينه‌ی پژوهش، بازديدهای ميداني برای تهيیه تصاوير و كنترل اطلاعات نقشه‌های پایه و درنهایت روش تحليلي استفاده شده است. نقشه‌های توپوگرافی ۱:۵۰۰۰۰، عکس‌های هوایي ۱:۵۵۰۰۰ سال ۱۳۳۵، نقشه‌ی زمین‌شناسی ۱:۱۰۰۰۰ و تصاوير ماهاواره‌ای لندست (سنجدنه ETM+) منطقه به عنوان ابزار اصلی در اين پژوهش مورد استفاده قرار گرفتند. داده‌های نقشه‌های توپوگرافی و زمین‌شناسی به عنوان داده‌های پایه به نرم‌افزار Arc GIS 9.3 انتقال داده شده و سپس رقومی شدند. با توجه به هدف پژوهش و برای دستيابي به نتایج مورد نظر، نقشه‌ی اشكال سيرک منطقه، داده‌های دما و بارش به عنوان متغيرهای اصلی منطقه، در تعیين برف‌مرزها مورد تحليل و ارزیابی قرار گرفتند. در اين راستا، از آمار ۵۲ ايستگاه استفاده شده است که ۱۹ ايستگاه تبخیرسنجدی و ۳۳ ايستگاه باران‌سنجدی است. با توجه به رابطه‌ی همبستگی ميان عناصر، دما، بارش و ارتفاع نقشه‌ی دما و بارش گذشته و حال حاضر منطقه کشیده شد. به وسیله‌ی نقشه‌های توپوگرافی، عکس‌های هوایي و ماهاواره‌ای، بازديدهای ميداني، استفاده از GPS برای تعیين موقعیت سیرک‌ها و حدود گسترش يخرفت‌ها، اشكال يخچالی منطقه (با تأكيد بر سیرک‌های يخچالی) شناسايی شد. در مرحله‌ی بعد، تعداد ۸۵ سیرک در حوضه شناسايی شد. به منظور بررسی معنادار بودن رابطه میان گسترش سیرک‌ها و جهات ناهمواری، تحليل را بر مبنای روش‌های آماری قرار داده و از روش آزمون توان دوم کی^۱ یا آزمون مجدد X استفاده شده است. برای تعیين برف‌مرز کواترنری در حوضه‌ی جاجرود، از ميان پنج روش پورتر برای بازسازی ارتفاع خط تعادل (ELA)^۲ روش ارتفاع کف سیرک استفاده شده است؛ زيرا براساس نظر پورتر، هنگامی که يخچالی فقط سیرک را پُر می‌کند، ELA دائمی آن معمولاً خیلی بالاتر از ميانگين ارتفاع کف سيرک (CF)^۳ نيست. بنابراین استفاده از اين روش (مطالعه‌ی کف سیرک) برای تعیين ارتفاع خط تعادل‌های گذشته مناسب است (Porter, 2001, 1068). روش ديگر برای برآورد برف‌مرز گذشته در حوضه، استفاده از روش رايت است. در اين روش با تعیين مكان سيرک‌های کوچک و گذراندن خط ۶۰ درصد از آنها برف‌مرز دائمی تعیين می‌شود. همچتین با استفاده از نرم‌افزار GIS و داده‌های به دست آمده، ارتفاع برف‌مرز زمان حال در حوضه‌ی جاجرود نيز محاسبه شد. از نرم‌افزار ENVI4.3 برای تفسير بصري و آماده‌سازی تصاوير ماهاواره‌ای موردنیاز و از برنامه Corel Draw برای کشیدن شكل‌های گرافيكی استفاده شد.

1. Chi – Square Test
2. Equilibrium-line Altitudes
3. Cirque Floor

یافته‌های تحقیق

شواهد یخچالی حوضه‌ی جاگرود

بررسی‌های میدانی وجود نمونه‌های مختلفی از لندفرم‌های یخچالی ازجمله، دره‌های U شکل (شکل ۲)، سیرک‌های کوچک و بزرگ (شکل ۳) و توده‌های بزرگی از تیل‌های یخته‌ی را ثابت می‌کند. تیل‌های یخته‌ی ترکیبی از سنگ‌های سرگردان با تکه‌های بزرگ تا کوچک هستند (شکل ۴).



شکل ۲. دره U شکل در زیر حوضه‌ی گرمابدر که بعد از دوره‌ی یخچالی بر اثر فرسایش آبی تغییر شکل یافته است



شکل ۳. نمونه‌ای از سیرک‌های موجود در شرق، زیر حوضه‌ی گرمابدر (تصویر Google Earth)



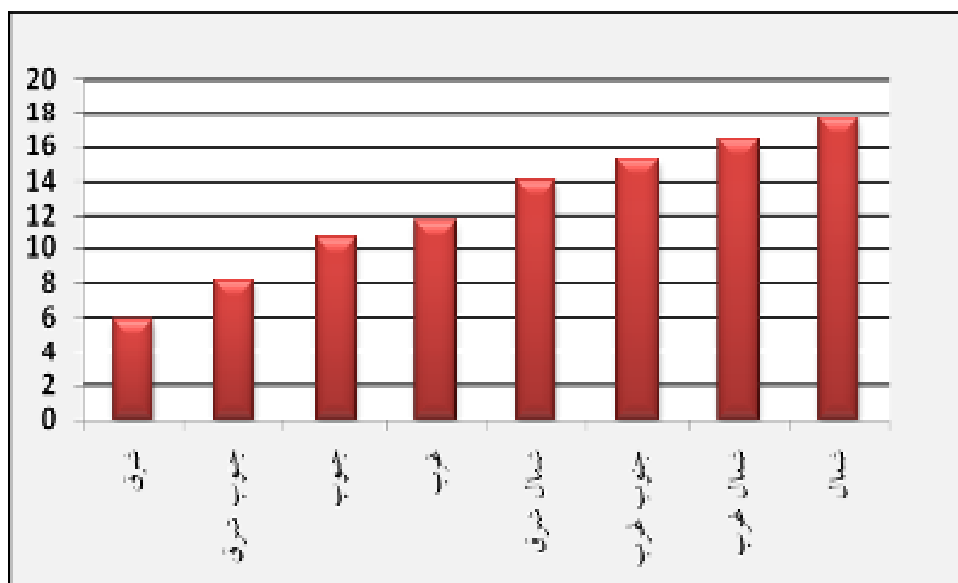
شکل ۴. تیل یخرفتی موجود در کف دره اصلی زیر حوضه‌ی گرمابدر

همچنین ۸۵ سیرک در حوضه شناسایی شد که ۱۵ سیرک (معادل ۱۷/۶ درصد) در دامنه شمالی تشکیل شده‌اند. در این میان ۴ سیرک (یعنی ۵/۹ درصد) با جهت شرقی، کمترین تعداد را دارند. پایین‌ترین سیرک حوضه در ارتفاع ۲۱۲۰ متری و در جهت شمال و بالاترین سیرک‌ها در ارتفاع ۳۹۰۰ متری و در جهات شرق، جنوب‌شرق و جنوب گسترش دارند. اشکال ۵ و ۶ چگونگی توزیع سیرک‌ها را در جهات جغرافیایی مختلف نشان می‌دهند.

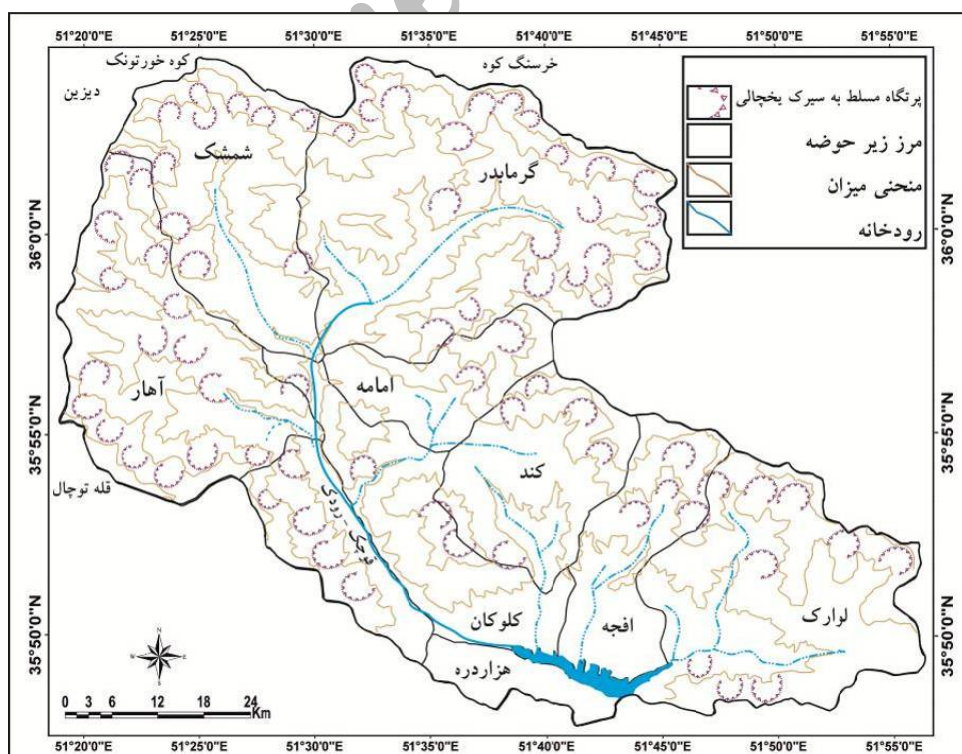
همان‌طور که در جدول ۱ دیده می‌شود بین فراوانی، تعداد و حجم سیرک‌ها با جهت ناهمواری‌ها ارتباط وجود دارد. برای ثابت کردن و معنادار بودن این رابطه، داده‌ها بر مبنای روش‌های آماری تحلیل شدند. از آن‌جا که مقیاس اندازه‌گیری جهات جغرافیایی هستند و ارزش اسمی دارند، برای آزمون معنادار بودن توزیع متغیر در جامعه از آزمون‌های غیرپارامتریک استفاده شده است (منصورفر، ۱۳۸۲، ۲۲۳). بیشترین فراوانی سیرک‌ها در دامنه‌های رو به قطب تشکیل شده است؛ یعنی در دامنه‌های رو به قطب (به‌دلیل دریافت انرژی کمتر خورشیدی) مانندگاری برف و یخ بیشتر است. به عبارتی، در شکل گیری سیرک‌ها جهت ناهمواری‌ها نقش مهمی داشتند. جهت اصلی ناهمواری‌ها در حوضه‌ی جاجرود، شمال‌غرب - جنوب‌شرق است و باعث شده است که حدود ۳۸/۸ درصد سیرک‌ها رو به قطب و ۲۴/۷ درصد سیرک‌ها در دامنه‌های رو به استوا شکل گیرند.

جدول ۱. توزیع فراوانی سیرک‌های یخچالی در حوضه‌ی جاجرود

جهت سیرک	فراءانی	جهت سیرک	فراءانی	جهت سیرک	درصد
شمال	۱۵	شمال‌غرب	۱۷/۶	شمال	۱۶/۴
شمال‌شرق	۱۲	جمع	۱۴/۱	شمال‌شرق	-
شرق	۴		۵/۹	شرق	
جنوب‌شرق	۷	تعداد (n)	۸/۲	جنوب	-
جنوب	۹	میانگین حسابی (\bar{X})	۱۰/۶	جنوب	-
جنوب‌غرب	۱۳	دامنه رو به قطب	۱۵/۳	جنوب‌غرب	۳۸/۸
غرب	۱۰	دامنه رو به استوا	۱۱/۷	غرب	۲۴/۷



شکل ۵. توزیع سیرک‌ها در حوضه‌ی آبریز جاجرود



شکل ۶. موقعیت سیرک‌های یخچالی در حوضه‌ی آبریز جاجرود

برای بررسی دقیق معنادار بودن این رابطه (شکل‌گیری و گسترش سیرک‌های یخچالی با جهات جغرافیایی و ناهمواری‌ها) از آزمون توان دوم کی یا آزمون مجدد X استفاده شده است. این روش مهم‌ترین آزمونی است که بر پایه‌ی بررسی فراوانی‌های مشاهده شده و فراوانی‌های نظری مورد انتظار است. به این منظور، ابتدا داده‌های سیرک‌ها را با توجه به جهات هشت‌گانه دسته‌بندی کرده و از رابطه یک برای محاسبه استفاده شده است. جدول ۲، مراحل کار و نتیجه را نشان می‌دهد.

$$X^2 = \frac{\sum(O-E)^2}{E} \quad \text{رابطه (۱)}$$

O = فراوانی مشاهده شده؛

E = فراوانی مورد انتظار؛

X^2 = آزمون توان دوم کی.

جدول ۲. آزمون مجدد کی در حوضه‌ی مورد مطالعه

سیرک‌ها	شمال‌غرب	غرب	جنوب‌غرب	جنوب	جنوب‌شرق	شرق	شمال‌شرق	شمال	کل
O فراوانی مشاهده شده	۱۵	۱۲	۴	۷	۹	۱۳	۱۰	۱۵	$\sum X = 85$
H ₀ احتمال تحت فرض	.۰/۱۲۵	.۰/۱۲۵	.۰/۱۲۵	.۰/۱۲۵	.۰/۱۲۵	.۰/۱۲۵	.۰/۱۲۵	.۰/۱۲۵	۱
E فراوانی مورد انتظار	۱۰/۶	۱۰/۶	۱۰/۶	۱۰/۶	۱۰/۶	۱۰/۶	۱۰/۶	۱۰/۶	۸۵
$\frac{(O-E)^2}{E}$	۱/۸۲	.۰/۱۸	.۴/۱۰	.۱/۲۲	.۰/۲۴	.۰/۵۴	.۰/.۳	.۱/۸۲	.۹/۹۵ $d \times f = 7$

در اینجا، میزان درجه‌ی آزادی برابر با $v = d \times f = k - 1$ یعنی تعداد گروه‌های جدول منهای یک است؛ زیرا طبق نظریه‌ی ریاضی در محاسبه‌ی فراوانی نظری از مجموع فراوانی مشاهده شده استفاده می‌شود؛ درنتیجه، درجه‌ی آزادی $k - 1$ است. چون X^2 محاسبه شده (۹/۹۵) از X^2 جدول درجه‌های آزادی (۹/۸۰) در سطح ۰/۰۵ بزرگ‌تر است، بنابراین، فرضیه‌ی صفر رد شده و می‌توان نتیجه گرفت که بین فراوانی‌های مشاهده شده و فراوانی‌های مورد انتظار تناقض و تفاوتی وجود دارد و اختلاف و تفاوت موجود تصادفی نیست. از آنجاکه فرضیه‌ی صفر رد می‌شود، نتیجه می‌گیریم در این حوضه، سیرک‌های یخچالی در جهت قطب گسترش بیشتری داشته است.

تخمین ارتفاع برف‌مرزها

۱- روش ارتفاع کف سیرک

پورتر در مطالعه‌ی کوهستان‌های یخچالی عرض‌های پایین، از پنج روش برای بازسازی ارتفاع خط تعادل (ELA)

استفاده می‌کند. از آنجاکه این روش‌ها از نظر شیوه با یکدیگر تفاوت دارند، بنابراین، نتایج حاصل از آنها با یکدیگر قابل مقایسه نیستند. این پنج روش عبارت‌اند از:

۱- روش ارتفاع کف سیرک؛^۱

۲- روش بررسی یخرفته‌های جانبی قسمت بالای دره؛^۲

۳- روش آستانه‌های یخبندان؛^۳

۴- روش نسبت ارتفاع؛^۴

۵- روش نسبت انباشتگی - مساحت.^۵

از میان روش‌های ذکر شده، با توجه به بارز بودن شواهد سیرک‌های یخچالی، روش مطالعه‌ی کف سیرک برای منطقه‌ی مورد مطالعه مناسب‌تر است، زیرا براساس نظر پورتر، هنگامی که یخچالی فقط سیرک را پُر می‌کند، ELA دائمی آن معمولاً خیلی بالاتر از میانگین ارتفاع کف سیرک (CF) نیست. بنابراین استفاده از این روش (مطالعه‌ی کف سیرک) مناسب برای تعیین ارتفاع (خطاهای تعادل) گذشته است (Porter, 2001, 1068) (شکل ۷). برای استفاده از روش ارتفاع کف سیرک به منظور بی‌بردن به برف‌مرز گذشته و خط تعادل آب و یخ در حوضه‌ی مورد مطالعه، بعد از آمده‌سازی جدول ۳، از رابطه دو برای محاسبه‌ی نما یا مد استفاده شده است.

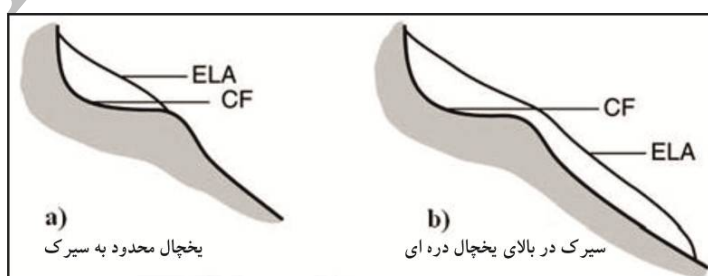
در اینجا برای مقایسه‌ی ارتفاع متوسط سیرک‌های یخچالی و ارتفاعی که سیرک‌ها بیشترین فراوانی را در آن داشته‌اند، میانگین حسابی و مد (نما) هر یک در زیر آن یاداشت شده است. در آمارهای دسته‌بندی شده، به دسته‌ای که بالاترین فراوانی وقوع را دارد، نما می‌گویند (علیزاده و همکاران، ۱۳۸۴، ۳۲۹).

$$M_o = L + \left(\frac{f_1}{f_1 + f_2} \right) \times h \quad (1)$$

L : حد پایین طبقه‌ی نمادار؛

F₁ : تفاضل طبقه‌ی ماقبل طبقه نمادار از فراوانی طبقه‌ی نمادار؛

F₂ : تفاضل طبقه‌ی مابعد طبقه‌ی نمادار از فراوانی طبقه‌ی نمادار (منصف، ۱۳۷۲، ۸۰).



شکل ۷. روش ارتفاع کف سیرک (Porter, 2001, 1068)

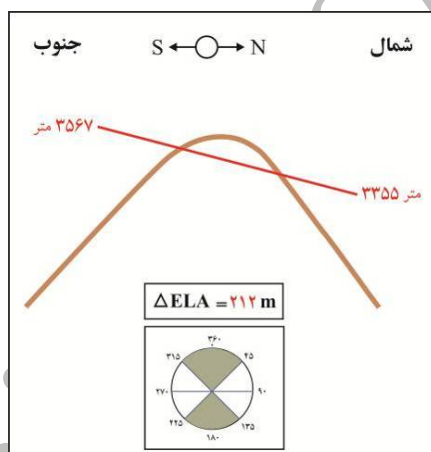
1. Cirque – Floor Method
2. Lateral- Moraine Method
3. Glaciation- Threshold Method
4. Altitude- Ratio Method
5. Accumulation- Area Ratio Method

جدول ۳. توزیع فراوانی ارتفاع کف سیرک‌های یخچالی در حوضه‌ی مورد مطالعه

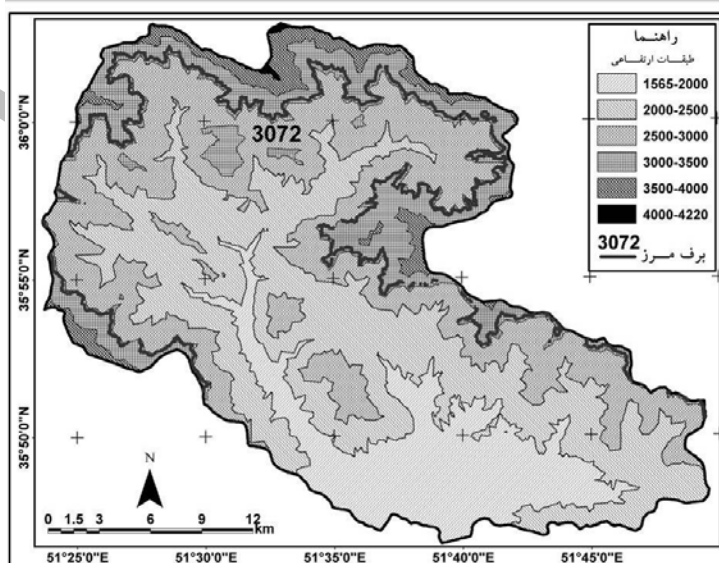
طبقه‌های ارتفاع	فراوانی سیرک	جهات جغرافیایی								درصد
		شمال	شمال شرق	شرق	جنوب شرق	جنوب	جنوب غرب	غرب	شمال غرب	
۲۱۰۰-۲۲۰۰	۱	۱	-	-	-	-	-	-	-	۱/۱
۲۲۰۰-۲۳۰۰	۱	۱	-	-	-	-	-	-	-	۱/۱
۲۳۰۰-۲۴۰۰	۲	۱	۱	-	-	-	-	-	-	۲/۲
۲۴۰۰-۲۵۰۰	۲	-	-	-	-	-	-	-	۱	۲/۲
۲۵۰۰-۲۶۰۰	۵	۱	۳	-	-	-	-	۱	-	۵/۵
۲۶۰۰-۲۷۰۰	۳	۱	-	-	-	-	۱	-	۱	۳/۳
۲۷۰۰-۲۸۰۰	۱۰	-	۱	۱	-	-	۱	۵	۲	۱۱/۱
۲۸۰۰-۲۹۰۰	۹	۳	-	۲	۱	-	۲	-	۱	۱۰
۲۹۰۰-۳۰۰۰	۲	-	۱	-	-	۱	-	-	-	۲/۲
۳۰۰۰-۳۱۰۰	۱۱	۲	-	-	۱	-	۳	۲	۳	۱۲/۲
۳۱۰۰-۳۲۰۰	۷	-	۲	-	۱	-	-	۱	۳	۷/۷
۳۲۰۰-۳۳۰۰	۵	۱	۱	-	-	۲	-	-	۱	۵/۵
۳۳۰۰-۳۴۰۰	۷	۲	۲	-	-	-	۱	۱	۱	۷/۷
۳۴۰۰-۳۵۰۰	۶	۲	-	-	۱	۲	-	-	۱	۶/۶
۳۵۰۰-۳۶۰۰	۵	-	-	-	-	۲	۳	-	-	۵/۵
۳۶۰۰-۳۷۰۰	۴	-	-	-	۱	۱	۲	-	-	۴/۴
۳۷۰۰-۳۸۰۰	-	-	-	-	-	-	-	-	-	-
۳۸۰۰-۳۹۰۰	۲	-	-	۱	-	-	-	-	-	۲/۲
۳۹۰۰-۴۰۰۰	۳	-	-	۱	۲	۱	-	-	-	۳/۳
جمع	۸۵	۱۵	۱۲	۴	۷	۹	۱۳	۱۰	۱۵	۱۰۰
میانگین ارتفاع (متر)	-	۲۷۴۰	۲۸۰۰	۳۳۰۰	۳۳۰۰	۳۴۱۶	۳۰۷۱	۲۹۲۰	۲۹۴۴	۳۰۶۱
نما (متر)	-	۲۸۵۰	۲۵۴۰	۲۸۳۳	۳۹۵۰	۳۵۰۰	۳۰۵۰	۲۷۵۰	۳۱۰۰	۳۰۷۱/۶
سیرک‌های رو به قطب	مقدار نما									۳۳۵۵
سیرک‌های رو به استوا	مقدار نما									۳۵۶۷
ΔELA	اختلاف در دو دامنه									۲۱۲

همان‌طور که دیده می‌شود ارتفاع کف سیرک‌های یخچالی در حوضه‌ی جاجرود، ۳۰۶۱ متر و مقدار مدیانا نما ۳۰۷۱/۶ متر و میانگین نما برای سیرک‌های رو به قطب برابر با ۳۳۵۵ متر و برای سیرک‌های رو به استوا برابر با ۳۵۶۷ متر است. پایین‌ترین سیرک منطقه با ارتفاع ۲۱۲۰ متر در جهت شمال و بالاترین سیرک‌ها در ارتفاع ۳۹۰۰ متری و در جهات شرق، جنوب‌شرق و جنوب گسترش دارند.

با توجه به مدل مذکور ارتفاع برف‌مرز گذشته (آخرین دوره‌ی یخچالی) برابر با مقدار نما در ارتفاع کف سیرک‌های یخچالی است که البته این ارتفاع در دامنه‌های شمالی و جنوبی با هم اختلاف دارد، میزان این اختلاف برابر با $\Delta\text{ELA} = 212 \text{ m}$ (شکل ۸) است. بنابراین ارتفاع برف‌مرز در دو دامنه نیز برابر با ۳۰۷۲ متر است.



شکل ۸. ارتفاع برف‌مرز گذشته در حوضه‌ی جاجرود بر اساس مقدار نما



شکل ۹. ارتفاع برف‌مرز در آخرین دوره‌ی یخچالی بر اساس روش پورتر

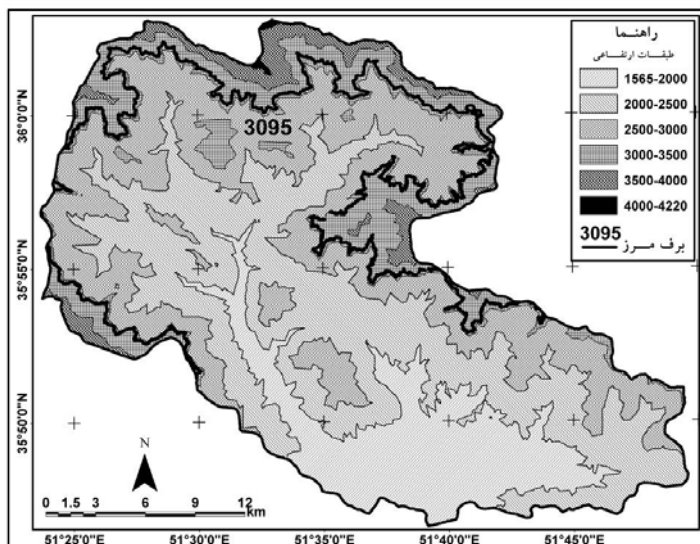
۲- روش رایت

یکی دیگر از روش‌هایی که می‌توان به وسیله‌ی آن برف‌مرز دائمی را در دوره‌های سرد کواترنر تعیین کرد، روش رایت است. در این روش با تعیین مکان سیرک‌های کوچک و گذراندن خط ۶۰ درصد از آنها، برف‌مرز دائمی تعیین می‌شود (رامشت و نعمت‌الهی، ۱۳۸۴، ۱۳). همان‌طور که در جدول ۴ دیده می‌شود، ارتفاع خط برف که به این روش بهست می‌آید، ۳۰۹۵ متر است (شکل ۱۰). به عبارتی در سردترین دوره‌ی حاکم بر منطقه، در این ارتفاع برف همیشه وجود داشته و یا به مفهومی دیگر میانگین دما بر روی این خط برابر صفر درجه‌ی سانتی‌گراد بوده است. با مقایسه‌ی روش رایت و پورتر نتیجه‌ی می‌گیریم این دو روش تنها ۲۳ متر با هم اختلاف دارند.

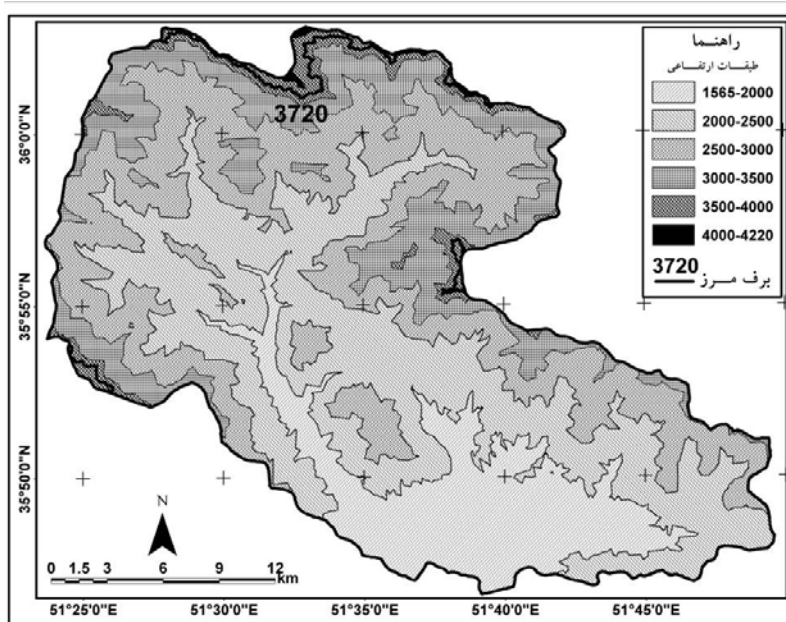
جدول ۴. تعیین خط ۶۰٪ در روش رایت

تعداد سیرک	تعداد سیرک	درصد تجمعی	درصد	درصد	طبقه‌های ارتفاع	تعداد سیرک	درصد تجمعی	درصد	درصد	طبقه‌های ارتفاع
۲	۳۵	۴۱/۱۷	۲۹۰۰	۱۵۰۰
۱۱	۴۶	۵۱/۱۱	۳۰۰۰	۱۶۰۰
۷	۵۳	۶۲/۳۵	۳۱۰۰	۱۷۰۰
۵	۵۸	۶۸/۲۳	۳۲۰۰	۱۸۰۰
۷	۶۵	۷۶/۴۷	۳۳۰۰	۱۹۰۰
۶	۷۱	۸۳/۵	۳۴۰۰	۲۰۰۰
۵	۷۶	۸۹/۴۱	۳۵۰۰	۱	۱	۱	۱/۱۷	۱۷	۲۱۰۰	
۴	۸۰	۹۴/۱	۳۶۰۰	۱	۲	۲	۲/۳۵	۳۵	۲۲۰۰	
.	.	.	۳۷۰۰	۲	۴	۴	۴/۷۰	۷۰	۲۳۰۰	
۲	۸۲	۹۶/۴۷	۳۸۰۰	۲	۶	۷	۷	۱۷	۲۴۰۰	
۳	۸۵	۱۰۰	۳۹۰۰	۵	۱۱	۱۱	۱۱/۹۴	۹۴	۲۵۰۰	
.	.	.	۴۰۰۰	۳	۱۴	۱۴	۱۴/۴۷	۴۷	۲۶۰۰	
.	.	.	۴۱۰۰	۱۰	۲۴	۲۴	۲۴/۲۳	۲۳	۲۷۰۰	
				۹	۳۳	۳۳	۳۳/۸۲	۸۲	۲۸۰۰	

شکل ۱۰. ارتفاع برف‌مرز در آخرین دوره‌ی یخچالی بر اساس روش رایت



با استفاده از داده‌های دما و بارش و محاسبه‌ی آن در نرم‌افزار GIS، ارتفاع برف‌مرز زمان حال در حوضه‌ی جاجرود نیز محاسبه شد (شکل ۱۱). همان‌طور که در شکل نیز دیده می‌شود خط برف‌مرز در ارتفاع ۳۷۲۰ متری قرار دارد.



شکل ۱۱. ارتفاع برف‌مرز زمان حال در حوضه‌ی جاجرود

بحث و نتیجه‌گیری

بررسی‌ها نشان می‌دهد که میانگین ارتفاع کف سیرک‌های یخچالی در حوضه‌ی جاجرود، ۳۰۶۱ متر و مقدار مدیا نما ۳۰۷۲ متر است. میانگین نما برای سیرک‌های رو به قطب برابر با ۳۳۵۵ متر و برای سیرک‌های رو به استوا برابر با ۳۵۶۷ متر است. با توجه به مدل پورتر، ارتفاع برف‌مرز در آخرین دوره‌ی یخچالی، برابر با مقدار نما در ارتفاع کف سیرک‌های یخچالی است؛ البته این ارتفاع در دامنه‌های شمالی و جنوبی با هم اختلاف داشته و میزان آن برابر با ۲۱۲ متر است ($\Delta ELA = 212 m$)؛ بنابراین، نتیجه‌ی به‌دست‌آمده از این روش براساس داده‌ها و نرم‌افزارهای جدیدتر و معتبرتر نشان می‌دهد که ارتفاع برف‌مرز در حوضه‌ی جاجرود ۳۰۷۲ متر است. این رقم خطأ میانگین دمای صفر درجه‌ی سانتی‌گراد را بر روی بلندی‌های منطقه نشان می‌دهد. اختلاف ارتفاع خطأ تعادل برف و یخ در دو دامنه نیز برابر با ۲۱۲ متر است. همچنین، برف‌مرز به‌دست‌آمده با روش رایت نیز ارتفاع ۳۰۹۵ متر را دنبال می‌کند. مقایسه‌ی روش‌های رایت و پورتر تنها ۲۳ متر اختلاف را نشان می‌دهند. با استفاده از داده‌های دما و بارش و محاسبه‌ی آن در نرم‌افزار GIS، ارتفاع برف‌مرز زمان حال در حوضه‌ی جاجرود نیز ارتفاع ۳۷۲۰ متر را نشان می‌دهد، درحالی‌که مقایسه‌ی نتایج به‌دست‌آمده با نتایج پژوهشگران قبلی نشان می‌دهد که شوایتزر مرز برف دائمی را در حال حاضر در دامنه‌های جنوبی البرز در حدود ۴۴۰۰ متری و در دامنه‌های شمالی البرز در حدود ۴۲۰۰ متر محاسبه نمود، یافته‌های بوبک و درش نیز مرز برف دائمی کنونی در البرز را از ۴۲۰۰ تا ۴۰۰۰ متر و در دوره‌های سرد از ۳۶۰۰ تا ۳۴۰۰ متر می‌دانند. زمانی نیز این مرز را در البرز

در آخرین دوره‌ی یخچالی با استفاده از مدل پورتر در ارتفاع ۲۷۴۸ متری و با استفاده از روش رایت در ارتفاع ۲۷۲۰ متری می‌داند. عیوضی نیز مرزبرف دائمی را دامنه‌های جنوبی البرز، در ارتفاع ۴۴۰۰ متری که با خط هم‌دما ۵-۶ و هم‌بارش ۱۰۳۷ میلی‌متر مطابقت دارد، محاسبه نمود. از تعداد ۸۵ سیرک موجود در حوضه، ۱۵ سیرک (۱۷/۶ درصد) در دامنه‌های شمالی و ۴ سیرک (۵/۹ درصد) در دامنه‌های شرقی قرار گرفته‌اند. این ارقام گویای آن هستند که شکل‌گیری سیرک‌ها بیشتر از جهت ناهمواری‌ها پیروی نموده است. جهت اصلی ناهمواری‌ها در حوضه‌ی جاجرود، شمال‌غرب - جنوب‌شرق است. تحت تأثیر همین عامل، حدود ۳۸/۸ درصد سیرک‌ها رو به قطب و ۲۴/۷ درصد سیرک‌ها در دامنه‌های رو به استوا شکل گرفته‌اند.

منابع

- Aber, J. S., 2003, **Glacial Theory History**, Emporia State University, GO 568.
- Almodaresi, SA., Ramesht, MH., 2007, **The Effect of Nivation and Glaciers in Shirkooh Mountain of Yazd (Sakhvid Region)**, Geographic Space Magazine, Vol. 7, No. 19, pp. 1-32.
- Armed Forces Geographical Organization, **Photo Shoot with Approximate Scale 1:55000**, 1335.
- Armed Forces Geographical Organization, **Satellite Imagery Sensor ETM+**.
- Armed Forces Geographical Organization, **Topography Map 1:50000 Gajereh**, Tajrish, Lavasan, Lashkarak, East of Tehran and Jajroud.
- Bobek, H., 1934, **Reise in Nordwest Persien 1934**, [Travel in Northwest Persia 1934, Zeitschrift der Gesellschaft Fur Erdkunde zu Berlin, Vol. 9/10, pp. 359-369.
- Bobek, H., 1937, **Die Rolle der Eiszeit in Nordwest Iran** [The Role of the Ice Age in Northwestern Iran]: Zeitschrift fur Glestscherkunde, Vol. 25, pp. 130-183.
- Bobek, H., 1963, **Nature and Implications of Quaternary Climatic Changes in Iran**, In: Changes of Climate, Proceedings of Symposium on Changes of Climate with Special Reference to and Zones, Rome, 1961, UNESCO, pp. 403-413.
- Ferrigno, J.G., Williams, R., 1998, **Areal Extent of Pep Sent**, Day Glaciers, U.S Geological Survey Professional Paper 1386-a.
- Fisher, W.B., 1968, **The Land of Iran**, the Cambridge History of Iran, Cambridge.
- Geological Survey, **Geological Map Scale 1:100000 East of Tehran**, Marzanabad, Baladeh.
- Jedari Eyvazi, J., 2004, **Iran Geomorphology**, Payam Noor University Publication.
- Jedari Eyvazi, J., 2006, **Performance of Peltier Model in Classification of Glacier Areas**, Research Projects, Tehran University Research.
- Mansourfar, K., 2003, **Statistical Methods**, Tehran University Publication, Sixth Edition, pp.220-225.
- Monsef, M., 1993, **Basic and Methods of Statistics**, Tehran University Publications, Eighth Edition, Vol. 1.

- Nematollahi, F., Ramsht, M.H., 2005, **Effects of Glaciations in Iran**, Modares Human Sciences, Vol. 9, No. 4, pp. 143-162.
- Pedrami, M., **Pleistocene and Paleo Climate in Iran**. Geo, I, Surv, Tehran 1982.
- Pedrami, M., Carla, W., 1987, **Montgomery the Physical Geology of Pleistocene and Paleo Climate in Iran**, 1982, Geol, Surv, Tehran.
- Peltier, L.C., 1950, **The Geographic Cycle in Preglacial Regions as it is Related to Climatic Geomorphology**, Annals of the Association of American, Geographers 40, pp. 214-236.
- Porter, S.C., 2001, **Snowline Depression in the Tropics during the Last Glaciations**, Quaternary Science Reviews, No. 20.
- Ramesht, M.H., Kazemi, M.M., 2007, **The Glacier Effects in Eghlid Fars Basin**, The Growth of Geography Education, Vol. 21, No. 4, pp. 11-3.
- Schweizer, G., 1972, **Klimatich Bedigte Geomorphologische und Glaziologische Zuge der Hoch Region Vorferasiatischer Gebirge (Iran Und Ostanatolien)**, Wiesbaden, 4, pp. 221-236.
- Water Resources Organization Country (Tamab), **Pluviometer and Evaporimeter**, 1994-2006.
- Wright, H.E., 1983, **Late-Pleistocene Glaciation and Climate around the Junin Plain**, Central Peruvian Highlands, Geografiska Annaler 65A, pp. 35-43.
- Yamani, M., 2001, **Geomorphology of Alamkoh Glaciers**, Geography Research Quarterly, No. 42, pp. 1-18.
- Yamani, M., 2007, **Zardkoh Glaciers Geomorphology**, Geography Research Quarterly, No.59, pp. 139-125.
- Zamani, H., 2009, **The Evidences and the Terminuses of the Quaternary Glaciers in the Central Alborz**, Supervisor: Yamani, M., Jedari Eyvazi, J., Ph.D. Dissertation, Department of Geography, Tehran University.
- Zomorodian, M. J., 2002, **Iran Geomorphology**, Ferdowsi University of Mashhad Publication, Vol. 2, First Edition, pp. 40-42.